

PROCÉDÉ ET SERVEUR DE CONTRÔLE DES FLUX DE DONNÉES DANS UN RÉSEAU DE TÉLÉCOMMUNICATIONS.

La présente invention se rapporte à un procédé et à un serveur de contrôle des flux de données dans un réseau de télécommunications, notamment pour effectuer des admissions de nouveaux flux de données dans ce réseau.

5 Un réseau de télécommunication, tel que le réseau Internet, peut transmettre des données de nature diverses, et notamment des données multimédia codant des informations telles qu'une conversation, une image et/ou une séquence d'images.

10 A cet effet, ces informations sont codées en un langage informatique puis transmises par paquets de données de façon à générer un flux de données, chaque paquet du même flux ayant une même étiquette comprenant notamment les adresses, dans le réseau, de l'émetteur et du récepteur du flux de données.

15 Pour obtenir une bonne qualité de transmission de ce flux de données, il convient d'éviter que le réseau transmettant ce flux présente des encombrements de flux provoquant des délais de transmission des paquets élevés, la perte d'un ou de plusieurs de ces paquets et/ou autres phénomènes diminuant la qualité de communication du réseau.

20 C'est pourquoi, lorsqu'un flux de données doit être admis dans un réseau de communication, un serveur de contrôle de la qualité de service (QoS) détermine si l'admission de ce nouveau flux de données dans le réseau peut être acceptée en assurant que la transmission de ce nouveau flux de données et les transmissions de flux de données en cours dans le réseau sont effectuées avec le niveau de qualité requis.

25 Par ailleurs, les flux de données peuvent présenter des débits variables, notamment lorsque ces données codent des informations audio et/ou video relatives à, par exemple, une vidéo-conférence. En outre, la variation du débit d'un flux, c'est-à-dire la continuité de ce flux, est aussi variable en fonction de la nature des données transmises par ce flux.

30 Par exemple, lors de la transmission d'une conversation téléphonique, des périodes de silence générant un débit faible de données

alternent avec des périodes de conversations qui génèrent des débits de données plus élevés. En outre, le débit du flux de données relatif à une telle conversation varie faiblement. On dit alors qu'un tel flux présente une faible discontinuité (en anglais, « low burstiness »).

5 Selon un autre exemple, la transmission d'une séquence d'images relative à, par exemple, une vidéo, entraîne une alternance de périodes de transmission d'images, présentant un débit très élevé, avec des périodes de débit quasiment nul. Dans ce cas, le débit du flux de données présente une forte discontinuité (en anglais, « high burstiness »).

10 Comme précédemment indiqué, lorsqu'un flux de données doit être transmis via un réseau de télécommunication, un serveur de contrôle de la qualité de service de ce réseau doit déterminer si ce dernier peut transporter ce nouveau flux tout en assurant sa qualité et celle des transmissions en cours.

15 Tandis qu'un tel contrôle de flux de données s'avère relativement simple à mettre en œuvre lorsque le débit du flux à admettre est connu préalablement à son éventuel admission, cette mise en œuvre est plus complexe lorsque le débit de ce flux varie postérieurement à son admission, comme dans le cas des flux de données multimédia, et ceci d'autant plus que ce flux présente une forte discontinuité.

20 De ce fait, il est connu d'utiliser des modélisation permettant de déterminer, de façon statistique, l'admission d'un flux de données dans le réseau en considérant l'ensemble des flux considéré par le réseau, cet ensemble étant dénommé par la suite le trafic du réseau.

25 Ces modélisations du trafic de données utilisent des paramètres associés à ce trafic comme, par exemple, un taux maximum de débit, un degré de discontinuité du signal et/ou un taux moyen de débit afin de valider ou de refuser l'admission du nouveau flux de données de façon à respecter un compromis prédéterminé entre la qualité requise et l'utilisation maximale, c'est-à-dire le rendement, du réseau.

30 Une modélisation connue du trafic de données dans un réseau de télécommunication utilise des paires de valeurs composées d'intervalles de temps et de débits maximum permis pendant ces intervalles de temps, cette modélisation étant dénommée par la suite modélisation D-BIND ('Deterministic Bounding Interval-length Dependent').

De façon pratique, il est connu d'utiliser la modélisation D-BIND pour caractériser notamment le trafic vidéo en définissant un nombre p de paires :

$$\{(R_k, I_k) \mid k = 1, \dots, p\} \quad (1)$$

5 où I_k est un intervalle de temps et R_k est le débit maximum de données que le flux considéré peut envoyer pendant cet intervalle I_k .

Ainsi, si $A_j[t_1, t_2]$ représente le nombre total de bits envoyés par le flux j de données entre les instants t_1 et t_2 , alors le débit maximum R_k de données pour le flux j est défini comme étant :

10

$$R_k = \max_{0 \leq t} \left(\frac{A_j[t, t + I_k]}{I_k} \right).$$

p étant normalement choisi pour être de l'ordre de 4 à 8 de façon empirique, cet ensemble de R_k étant utilisé comme paramètre pour l'algorithme de contrôle d'admission comme décrit, par exemple, dans la
15 publication de E. W. Knightly, "H-BIND: A New Approach to Providing Statistical Performance Guarantees to VBR Traffic," publié dans la revue Proceedings of IEEE INFOCOM '96, (San Francisco, CA), pp. 1091--1099, en Mars 1996.

20 Une application connue du modèle D-BIND est relative à la transmission de vidéo codée selon le protocole MPEG (Motion Picture Expert Group), le trafic étant alors caractérisé par trois types de sous-ensembles de données, ou frames, dénommés I, B, et P et comprenant des quantités de données distinctes et un ordre de transmission
25 déterminé.

Dans ce cas, les propriétés de MPEG requièrent que différentes longueurs d'intervalles I_k soient utilisées pour caractériser un flux MPEG dans son ensemble.

30 Le contrôle d'admission d'un flux de données au moyen du modèle S-Bind peut être effectué au moyen d'un algorithme, dénommé H-BIND, qui utilise les paires $\{(R_k, I_k) \mid k = 1, \dots, p\}$ fournies par le modèle de trafic D-BIND.

Plus précisément, l'algorithme H-BIND considère le flux de données comme une distribution gaussienne de telle sorte qu'on peut calculer la variance et la moyenne de cette distribution en considérant la situation la plus défavorable pour chaque intervalle de temps I_k considéré, c'est-à-dire la situation telle que la variance est considérée à sa valeur maximale dans cet intervalle, la prévision du trafic étant alors moins performante.

A partir de cette variance et de cette moyenne, l'algorithme calcule la probabilité de dépassement des limites admises en termes de délais vis-à-vis de l'intervalle I_k pour évaluer la probabilité maximum de dépassement des limites admises de délais pour le flux total, c'est-à-dire le flux entrant et le flux en cours de transmission.

A cet effet, l'algorithme H-BIND découpe le temps en intervalles, qui peuvent correspondre, dans le cas de la vidéo MPEG au temps nécessaire pour transmettre un sous-ensemble de données, ce flux de données étant alors modélisé par une série de nombres réels positifs

$$\{X_{t_1}, X_{t_2}, \dots, X_{t_N}\}$$

obtenus à partir d'une fonction $b(t)$ générée au moyen des paires $\{(R_k, I_k) | k=1, \dots, p\}$ fournie par la modélisation D-BIND, précédemment décrites, selon la formule suivante:

$$b(t) = \frac{R_k I_k - R_{k-1} I_{k-1}}{I_k - I_{k-1}} (t - I_{k-1}) + R_{k-1} I_{k-1}, I_{k-1} \leq t \leq I_k$$

A partir de cette fonction $b(t)$, on obtient les valeurs de $b(t)$ pour chaque intervalle de temps considéré, ce qui génère la série :

$$\{b_{t_1}, b_{t_2}, \dots, b_{t_N}\}.$$

Le procédé pour obtenir un maximum de la variance de la série de données modélisant les débits de données dans les intervalles est du type tout ou rien où le tout est représenté par b_1 qui est la valeur du nombre de données du plus petit sous-ensemble et rien par 0.

5

La nouvelle série $\{X_{t_1}, X_{t_2}, \dots, X_{t_N}\}$ est alors du type

$$\{b_{t_1}, 0, 0, b_{t_1}, 0, 0, 0, b_{t_1}, 0, 0, 0, b_{t_1}, 0, 0, 0, \dots\}$$

5 , le nombre de zéros entre les b_{t_i} étant obtenus à partir de la fonction $b(t)$.

Une fois que la séquence $\{X_{t_1}, X_{t_2}, \dots, X_{t_N}\}$ est obtenue, on calcule la moyenne et la variance des débits sur des intervalles de longueur k :

10

$$\mu = \left(\frac{1}{N}\right) \sum_{i=1}^N X_{t_i} \quad (1)$$

$$\sigma^2(t_k) = \left(\frac{1}{N-k}\right) \sum_{i=1}^{N-k+1} \left(\frac{\sum_{m=0}^{k-1} X_{t_i+t_m} - k\mu}{t_k} \right)^2$$

15

Selon le théorème de la Limite Centrale (Central Limit Theorem 'CLT', en anglais), le trafic multiplexé peut être modélisé en utilisant l'algorithme H-BIND par une distribution Normale $\hat{B}(t_k)$ ayant pour valeur moyenne

$$\hat{\mu}(t_k) = \sum_j k\mu_j$$

et pour variance

$$\hat{\sigma}(t_k) = \sum_j t_k^2 \sigma_j^2(t_k),$$

20

où μ_j et $\sigma_j(t_k)$ sont évalués pour chaque flux de données j . La probabilité de dépassement de la limite établie en délai d_j est :

$$\text{Prob}\{\text{delay} > d_j\} = \max_{0 \leq t_k \leq \beta} \text{Prob}\{\hat{B}(t_k) - Ct_k \geq Cd_j\}$$

$$\text{où } \beta = \min\{t > 0 \mid \sum_j b_j(t) \leq Ct\}$$

6

est la limite de la limite de la période d'occupation (en anglais, « busy period bound »).

La modélisation H-BIND est réalisée pour tous les flux de données en cours et pour le flux de données en attente de l'autorisation d'admission dans le réseau.

Si la probabilité de dépassement du délai pour la limite du délai d_j du flux de données j est plus petite que le niveau imposé P_l , le nouveau flux de données sera autorisé à entrer dans le réseau.

La présente invention résulte de la constatation que, en transformant la séquence

$$\{b_{t_1}, b_{t_2}, \dots, b_{t_N}\}$$

en une nouvelle séquence

$$\{b_{t_1}, 0, 0, b_{t_1}, 0, 0, 0, b_{t_1}, 0, 0, 0, b_{t_1}, 0, 0, 0, \dots\}$$

comme expliqué ci-dessus, le flux de données est modélisé par une séquence de valeurs qui est sous la contrainte de la fonction $b(t)$, c'est-à-dire avec une variance maximale parmi les séquences qui soient sous la contrainte de $b(t)$.

En d'autres termes, l'algorithme H-BIND utilise le cas le plus défavorable pour analyser le trafic du réseau, ce qui provoque un rendement affaibli d'utilisation du réseau génère des résultats satisfaisants pour un flux de données présentant un grand degré de discontinuité comme un flux vidéo.

Cependant, si le trafic est peu discontinu, cet algorithme H-BIND tend à provoquer une sous-utilisation de la capacité du réseau, ce qui représente un problème important vis-à-vis de la rentabilité du réseau de communication.

La présente invention vise à résoudre ce problème. Ainsi, elle concerne un procédé de contrôle du trafic de données dans un réseau de télécommunications, ce contrôle étant effectué en considérant une modélisation statistique du trafic transmis par ce réseau au moyen d'une distribution Gaussienne du débit de données, caractérisé en ce qu'on

pondère une valeur caractéristique de cette distribution Gaussienne au moyen d'un paramètre variant en fonction de l'intensité des variations, ou la discontinuité, du trafic traité par ce réseau, cette valeur pondérée étant utilisée pour évaluer le trafic dans le réseau.

5 Un algorithme utilisant un procédé conforme à l'invention, dénommé par la suite algorithme γ H-BIND, peut utiliser ce paramètre γ pour modifier la modélisation gaussienne du trafic de données en fonction de la discontinuité de ce trafic.

10 Grâce à un procédé conforme à l'invention, on améliore de façon sensible l'utilisation de la capacité du réseau pour du trafic ayant un faible degré de discontinuité ('non-bursty').

Dans une réalisation, on définit le paramètre γ de pondération à l'aide d'une valeur moyenne λ_{avg} du débit de données et d'une valeur λ_{peak} maximum de ce débit sur une période donnée.

15 Selon une réalisation, on définit le paramètre γ de pondération comme le rapport entre la moyenne λ_{avg} du débit de données sur la valeur maximum du débit λ_{peak} :

$$\gamma = \frac{\lambda_{avg}}{\lambda_{peak}}$$

20 Dans une réalisation, on mesure la valeur moyenne λ_{avg} du débit mesurée sur une période prédéterminée au cours de laquelle est déterminée la valeur λ_{peak} maximum du débit de données.

Selon une réalisation, on pondère la valeur moyenne μ de la distribution Gaussienne, par exemple au moyen d'une formule telle que :

25
$$\mu' = (1 - \gamma)(\mu - \lambda_{avg}) + \lambda_{avg}$$

Selon une réalisation, on utilise une modélisation du trafic de données faisant intervenir des paires de valeurs

$$\{(R_k, I_k) \mid k = 1, \dots, p\}$$

30 où I_k est un intervalle de temps, p une variable généralement comprise entre 4 et 8, et R_k est le débit maximum de données qu'un flux considéré de données peut envoyer pendant cet intervalle I_k de telle sorte que, le débit maximum R_k de données pour le flux j est défini comme étant :

$$R_k = \max_{0 \leq t} \left(\frac{A_j[t, t + I_k]}{I_k} \right)$$

où $A_j[t_1, t_2]$ représente le nombre total de bits envoyés par le flux (j) de données considéré entre des instants t_1 et t_2 .

5 Dans une réalisation, on modélise un flux de données par une série de nombres réels positifs

$$\{X_{t_1}, X_{t_2}, \dots, X_{t_N}\}$$

10 obtenus à partir d'une fonction $b(t)$ générée au moyen des paires $\{(R_k, I_k) \mid k=1, \dots, p\}$, par exemple selon une formule telle que:

$$b(t) = \frac{R_k I_k - R_{k-1} I_{k-1}}{I_k - I_{k-1}} (t - I_{k-1}) + R_{k-1} I_{k-1}, I_{k-1} \leq t \leq I_k$$

15 Selon une réalisation, on définit un niveau de confiance ε en utilisant une variable aléatoire S_k , propre à la distribution du débit du flux de données considéré pendant un intervalle I_k , en lui associant une fonction de densité de probabilité $s_k(a)$ définie comme:

$$S_k(a) = \text{prob} \left(\frac{A_j[t, t + I_k]}{I_k} \leq a \right), \forall t \geq 0$$

20

puis en définissant pour chaque intervalle I_k la valeur R_k de la façon suivante:

$$\int_0^{R_k} s_k(t) dt = \varepsilon$$

25 où $0 < \varepsilon \leq 1$.

Dans une réalisation, on utilise le contrôle du trafic de données pour décider de l'admission d'un flux de données dans ce réseau, par exemple relatives à des informations multimédia telles qu'une conversation, une vidéoconférence, une image et/ou une séquence
30 d'images, par exemple codées selon le protocole MPEG.

L'invention concerne aussi un dispositif de contrôle du trafic de données dans un réseau de télécommunications, ce contrôle étant effectué en considérant une modélisation statistique du trafic transmis par ce réseau au moyen d'une distribution Gaussienne du débit de données, caractérisé en ce qu'il comprend des moyens pour mettre en oeuvre un procédé selon l'une des réalisations précédentes afin de pondérer une valeur caractéristique de cette distribution Gaussienne au moyen d'un paramètre γ variant en fonction de l'intensité des variations, ou la discontinuité, du trafic traité par ce réseau, cette valeur pondérée étant utilisée pour évaluer le trafic dans le réseau.

D'autres caractéristiques et avantages de l'invention apparaîtront avec la description effectuée ci-dessous, à titre illustratif et non limitatif, en faisant référence à l'unique figure ci-jointe qui représente schématiquement un procédé de contrôle d'admission de flux de données dans un réseau de communication.

Conformément à l'invention, l'algorithme décrit ci-dessous s'applique à un procédé d'admission d'un flux de données considéré sous la forme d'une distribution Gaussienne à partir d'une modélisation statistique.

Il convient alors de signaler que le modèle D-BIND, précédemment décrit, utilise des maximums de débits pour caractériser certains intervalles de temps. Or ces maximums ne sont pas connus dans certains cas, par exemple lorsque le flux est traité en temps réel lors de sa réception, de telle sorte que ce modèle ne peut pas s'appliquer dans ces cas.

C'est pourquoi, selon un aspect de l'invention pouvant être utilisé indépendamment des aspects précédemment indiqués, on améliore le modèle D-BIND en prenant en compte la non connaissance de paramètres du flux considéré.

Pour cela, on définit une variable aléatoire S_k , propre à la distribution du débit du flux de données pendant un intervalle I_k , en lui associant une fonction de densité de probabilité $s_k(a)$ définie comme:

$$S_k(a) = \text{prob} \left(\frac{A_j[t, t + I_k]}{I_k} \leq a \right), \forall t \geq 0$$

10

où $A_j[t_1, t_2]$ représente le nombre de données du flux j pendant l'intervalle $[t_1, t_2]$.

Pour chaque intervalle I_k , on définit R_k de la façon suivante:

$$\int_0^{R_k} s_k(t) dt = \varepsilon$$

5 où $0 < \varepsilon \leq 1$.

Quand $\varepsilon = 1$, R_k a la même valeur qu'avec la modélisation D-BIND. Si ε diminue, R_k décroît, de telle sorte qu'on accroît le rendement de l'utilisation du réseau.

10 Par la suite, ε est appelé le niveau de confiance ('confidence level') dans la modélisation S-BIND.

Dans la modélisation S-BIND, chaque flux de données est caractérisé par des triplets de valeurs $\{\varepsilon, (R_k, I_k) \mid k = 1, \dots, p\}$ ou par couples de valeurs $\{(R_k, I_k, \varepsilon_k) \mid k = 1, \dots, p\}$ selon que le niveau de confiance ε peut varier ou est fixé pour différents intervalles I_k .

15 Une fois que les paramètres de S-BIND sont fixées, le serveur contrôlant la Qualité de Service ('QoS') peut réaliser le contrôle d'admission statistique en utilisant un algorithme de contrôle statistique tel que l'algorithme H-BIND.

20 Dans cette réalisation, ce serveur utilise l'algorithme de contrôle d'admission γ H-BIND, conforme à l'invention, qui définit un paramètre du degré discontinuité d'un flux de données γ de la façon suivante:

$$\gamma = \frac{\lambda_{avg}}{\lambda_{peak}}$$

25 où λ_{avg} est une valeur moyenne, mesurée sur une période donnée ou estimée à l'avance, du débit du flux de données et λ_{peak} est la valeur maximum du débit de flux dans le réseau.

Dans cette réalisation, on utilise le paramètre γ pour pondérer la moyenne μ du flux de données calculée au (2) en obtenant une nouvelle valeur μ' de la façon suivante :

30

$$\mu' = (1 - \gamma)(\mu - \lambda_{avg}) + \lambda_{avg}$$

La pondération de μ permet d'obtenir une série de valeurs $\{X_{i_1}, X_{i_2}, \dots, X_{i_N}\}$ à l'aide de l'algorithme γ H-BIND plus performante que la série de valeurs $\{X_{i_1}, X_{i_2}, \dots, X_{i_N}\}$ obtenue au moyen de l'algorithme H-Bind, notamment pour un trafic à faible taux de discontinuité ('non bursty trafic'), comme montré expérimentalement ultérieurement à l'aide des tableaux 1 et 2 en annexe.

De fait, quand le degré de discontinuité du trafic tend à augmenter, alors γ tend vers 0 et la valeur moyenne pondérée μ' tend vers μ .

Au contraire, quand le trafic a un degré de discontinuité faible, alors γ tend à être proche de 1, la valeur pondérée μ' est proche de la valeur moyenne du flux de données λ_{avg} .

En résumé, le nouveau algorithme de contrôle d'admission de flux γ H-BIND présente ainsi l'avantage, par rapport à l'art antérieur existant et notamment vis-à-vis de l'algorithme H-BIND, de prendre en considération le degré de discontinuité du flux de données, permettant une meilleure utilisation des ressources du réseaux notamment dans le cadre des flux de données faiblement discontinus.

Une expérimentation a été menée sur un nœud 100 (cf figure ci-jointe) d'un réseau de télécommunication ayant une pluralité d'entrées de flux 102, 104, 106 et 108 et une seule sortie 110 de capacité $C=45$ Mbps.

Il convient de signaler que, pour simplifier l'estimation des débits, on ne tient pas compte des communications entre le contrôleur de qualité et le nœud 100.

Dans une première étape de l'expérimentation, dont les résultats sont repris dans le tableau 1, le nœud 100 reçoit un trafic de données comprenant des flux de deux natures, à savoir:

- Des flux de données présentant un faible degré de discontinuité. Par exemple, ce flux comprend des informations relatives à une conversation téléphonique, et

- Des flux de données présentant un haut degré de discontinuité. Par exemple, ce flux comprend des informations relatives à une séquence vidéo.

Tous les flux ont la même limite de délais d considérés, c'est-à-dire que ce délai doit être respecté dans la transmission des paquets de données pour que la transmission se réalise.

Ces deux types de flux de données ont les caractéristiques suivantes:

	Trafic faible discontinuité	Trafic forte discontinuité
Moyenne temps OFF	1,587 s	0,9 s
Moyenne temps ON	1,004 s	0,1 s
Débit constant pendant la phase ON.	64 Kbps	258 Kbps

5 Où « moyenne temps off » (respectivement « moyenne temps on ») est la durée pendant laquelle aucune donnée n'est transmise, (respectivement des données sont transmises).

10 Dans une seconde étape de l'expérimentation, dont les résultats sont repris dans le tableau 2, le nœud 100 reçoit un seul trafic de données présentant un haut degré de discontinuité. Par exemple, ce flux comprend des informations relatives à une séquence vidéo.

15 Pendant ces simulations, le rendement du réseau 150 selon les algorithmes de contrôle d'accès H-BIND et γH-BIND sont testés avec différentes limites de délais d et différents niveaux de confiance ϵ , comme indiqué dans les tableaux 1 et 2 en annexes.

Ainsi, les limites des délais d considérés ont varié entre 1 ms et 40 ms tandis que les différents niveaux de confiance ϵ ont varié entre 99 % et 77 %.

Par ailleurs, la règle de qualité imposée était :

20

Taux de dépassement de délai maximum $\leq 1\%$

25 Finalement, il convient d'indiquer que les tableaux 1 et 2 représentent les mesures de débit total et de pourcentage d'utilisation du réseau sous la forme « débit/utilisation % »

On constate alors (cf tableau 1) que, pour un trafic de faible degré de discontinuité, un algorithme γH-BIND conforme à l'invention obtient un rendement d'utilisation du réseau supérieur de 3 à 4 % à celui de l'algorithme H-BIND, indépendamment de la valeur du paramètre ϵ .

30 En outre, pour un trafic présentant un degré élevé de discontinuité comme, par exemple, un trafic comprenant un flux de données vidéo, un algorithme γH-BIND conforme à l'invention permet

d'obtenir à nouveau un rendement supérieur au rendement obtenu par l'algorithme H-BIND, indépendamment de la valeur du paramètre ϵ .

En outre, dans ce second cas, il convient de signaler que le rendement maximum du réseau (valeur "trace").

5 Finalement, il convient de préciser que les tableaux 1 et 2 indique les valeurs moyenne, mesurée sur une période donnée ou estimée à l'avance, du débit du flux de données et extrême λ_{peak} dans chaque cas

10 La présente invention est susceptible de nombreuses variantes. Ainsi, l'invention peut s'appliquer à un sous-réseau, ou domaine, contrôlé par un serveur de contrôle déterminant de l'admission d'un flux de données dans ce domaine.

15 En outre, il est clair que d'autres variables caractéristiques de la distribution Gaussienne utilisée pour modéliser le trafic de données peuvent être pondérés au moyen d'une variable fonction de la discontinuité du trafic, comme par exemple la variance de la distribution.

REVENDICATIONS

1. Procédé de contrôle du trafic de données dans un réseau (150) de télécommunications, ce contrôle étant effectué en considérant une modélisation statistique (D-BIND, S-BIND) du trafic transmis par ce réseau (150) au moyen d'une distribution Gaussienne du débit de données, caractérisé en ce qu'on pondère une valeur (μ, σ) caractéristique de cette distribution Gaussienne au moyen d'un paramètre γ variant en fonction de l'intensité des variations, ou la discontinuité, du trafic traité par ce réseau (150), cette valeur pondérée (μ', σ) étant utilisée pour évaluer le trafic dans le réseau.

2. Procédé selon la revendication 1 caractérisé en ce qu'on définit le paramètre γ de pondération à l'aide d'une valeur moyenne λ_{avg} du débit de données et d'une valeur λ_{peak} maximum de ce débit sur une période donnée.

3. Procédé selon la revendication 2 caractérisé en ce qu'on définit le paramètre γ de pondération comme le rapport entre la moyenne λ_{avg} du débit de données sur la valeur maximum du débit λ_{peak} :

$$\gamma = \frac{\lambda_{avg}}{\lambda_{peak}}$$

4. Procédé selon la revendication 2 ou 3 caractérisé en ce qu'on mesure la valeur moyenne λ_{avg} du débit mesurée sur une période prédéterminée au cours de laquelle est déterminée la valeur λ_{peak} maximum du débit de données.

5. Procédé selon la revendication 3 ou 4 caractérisé en ce qu'on pondère la valeur moyenne μ de la distribution Gaussienne, par exemple au moyen d'une formule telle que :

$$\mu' = (1 - \gamma)(\mu - \lambda_{avg}) + \lambda_{avg}$$

6. Procédé selon l'une des revendications précédentes caractérisé en ce qu'on utilise une modélisation du trafic de données faisant intervenir des paires de valeurs

$$\{(R_k, I_k) | k = 1, \dots, p\}$$

où I_k est un intervalle de temps, p une variable généralement comprise entre 4 et 8, et R_k est le débit maximum de

données qu'un flux considéré de données peut envoyer pendant cet intervalle I_k de telle sorte que, le débit maximum R_k de données pour le flux j est défini comme étant :

$$R_k = \max_{0 \leq t} \left(\frac{A_j[t, t + I_k]}{I_k} \right)$$

où $A_j[t_1, t_2]$ représente le nombre total de bits envoyés par le flux (j) de données considéré entre des instants t_1 et t_2 .

7. Procédé selon la revendication 6 caractérisé en ce qu'on modélise un flux de données par une série de nombres réels positifs

$$\{X_{t_1}, X_{t_2}, \dots, X_{t_N}\}$$

obtenus à partir d'une fonction $b(t)$ générée au moyen des paires $\{(R_k, I_k) \mid k = 1, \dots, p\}$, par exemple selon une formule telle que:

$$b(t) = \frac{R_k I_k - R_{k-1} I_{k-1}}{I_k - I_{k-1}} (t - I_{k-1}) + R_{k-1} I_{k-1}, I_{k-1} \leq t \leq I_k$$

8. Procédé selon la revendication 7 caractérisé en ce qu'on définit un niveau de confiance ε en utilisant une variable aléatoire S_k , propre à la distribution du débit du flux de données considéré pendant un intervalle I_k , en lui associant une fonction de densité de probabilité $s_k(a)$ définie comme:

$$S_k(a) = \text{prob} \left(\frac{A_j[t, t + I_k]}{I_k} \leq a \right), \forall t \geq 0$$

puis en définissant pour chaque intervalle I_k la valeur R_k de la façon suivante:

$$\int_0^{R_k} s_k(t) dt = \varepsilon$$

où $0 < \varepsilon \leq 1$.

9. Procédé selon l'une des revendications précédentes caractérisé en ce qu'on utilise le contrôle du trafic de données pour décider de l'admission d'un flux de données dans ce réseau, par exemple relatives à des informations multimédia telles qu'une conversation, une vidéoconférence, une image et/ou une séquence d'images, par exemple codées selon le protocole MPEG.

10. Dispositif de contrôle du trafic de données dans un réseau (150) de télécommunications, ce contrôle étant effectué en considérant une modélisation statistique (D-BIND, S-BIND) du trafic transmis par ce réseau (150) au moyen d'une distribution Gaussienne du débit de données, caractérisé en ce qu'il comprend des moyens pour mettre en oeuvre un procédé selon l'une des revendications précédentes afin de pondérer une valeur (μ, σ) caractéristique de cette distribution Gaussienne au moyen d'un paramètre γ variant en fonction de l'intensité des variations, ou la discontinuité, du trafic traité par ce réseau (150), cette valeur pondérée (μ', σ) étant utilisée pour évaluer le trafic dans le réseau.

1/1

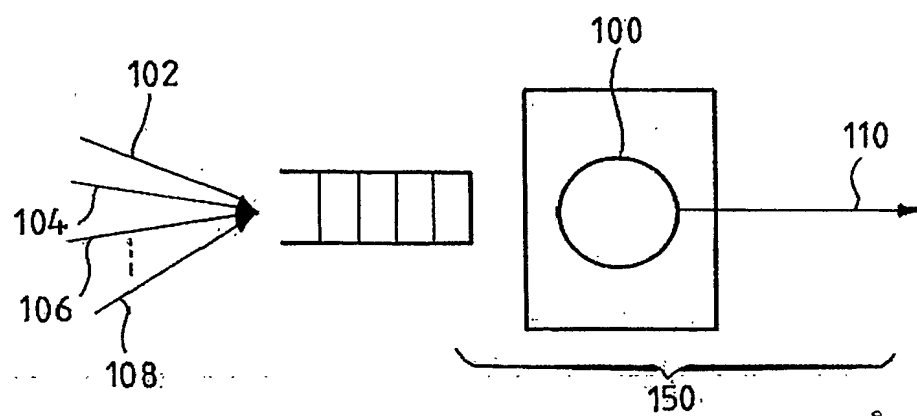


FIG 1 -

INTERNATIONAL SEARCH REPORT

International Application No

PCT/FR2004/001654

A. CLASSIFICATION OF SUBJECT MATTER
IPC 7 H04L12/56

According to International Patent Classification (IPC) or to both national classification and IPC

B. FIELDS SEARCHED

Minimum documentation searched (classification system followed by classification symbols)

IPC 7 H04L

Documentation searched other than minimum documentation to the extent that such documents are included in the fields searched

Electronic data base consulted during the international search (name of data base and, where practical, search terms used)

EPO-Internal

C. DOCUMENTS CONSIDERED TO BE RELEVANT

Category °	Citation of document, with indication, where appropriate, of the relevant passages	Relevant to claim No.
X	US 5 848 057 A (LEE CHANG-BUM ET AL) 8 December 1998 (1998-12-08) column 3, line 14 - column 4, line 30	1, 10
A	WO 00/79829 A (NOKIA NETWORKS OY.; SUNI MIKKO (FI)) 28 December 2000 (2000-12-28) page 21, line 1 - page 30, line 27 ----- -/--	1-10

☒ Further documents are listed in the continuation of box C.☒ Patent family members are listed in annex.

° Special categories of cited documents:

- *A* document defining the general state of the art which is not considered to be of particular relevance
- *E* earlier document but published on or after the international filing date
- *L* document which may throw doubts on priority claim(s) or which is cited to establish the publication date of another citation or other special reason (as specified)
- *O* document referring to an oral disclosure, use, exhibition or other means
- *P* document published prior to the international filing date but later than the priority date claimed

T later document published after the international filing date or priority date and not in conflict with the application but cited to understand the principle or theory underlying the invention

X document of particular relevance; the claimed invention cannot be considered novel or cannot be considered to involve an inventive step when the document is taken alone

Y document of particular relevance; the claimed invention cannot be considered to involve an inventive step when the document is combined with one or more other such documents, such combination being obvious to a person skilled in the art.

S document member of the same patent family

Date of the actual completion of the international search

8 December 2004

Date of mailing of the international search report

28/12/2004

Name and mailing address of the ISA

European Patent Office, P.B. 5818 Patentlaan 2
NL - 2280 HV Rijswijk
Tel. (+31-70) 340-2040, Tx. 31 651 epo nl,
Fax: (+31-70) 340-3016

Authorized officer

Schneider, G

INTERNATIONAL SEARCH REPORT

International Application No
PCT/FR2004/001654

C.(Continuation) DOCUMENTS CONSIDERED TO BE RELEVANT

Category *	Citation of document, with indication, where appropriate, of the relevant passages	Relevant to claim No.
A	<p>KNIGHTLY E W ED - INSTITUTE OF ELECTRICAL AND ELECTRONICS ENGINEERS: "H-BIND: a new approach to providing statistical performance guarantees to VBR traffic" PROCEEDINGS OF IEEE INFOCOM 1996. CONFERENCE ON COMPUTER COMMUNICATIONS. FIFTEENTH ANNUAL JOINT CONFERENCE OF THE IEEE COMPUTER AND COMMUNICATIONS SOCIETIES. NETWORKING THE NEXT GENERATION. SAN FRANCISCO, MAR. 24 - 28, 1996, PROCEEDINGS OF INFOCOM, L, vol. VOL. 2 CONF. 15, 24 March 1996 (1996-03-24), pages 1091-1099, XP010158178 ISBN: 0-8186-7293-5 cited in the application the whole document -----</p>	

INTERNATIONAL SEARCH REPORT

International Application No
PCT/FR2004/001654

Patent document cited in search report		Publication date		Patent family member(s)		Publication date
US 5848057	A	08-12-1998	KR	211053 B1		15-07-1999
WO 0079829	A	28-12-2000	WO	0079829 A1		28-12-2000
			AU	4613499 A		09-01-2001

Post-Approval Copy

RAPPORT DE RECHERCHE INTERNATIONALE

Donnée internationale No
PCT/FR2004/001654

A. CLASSEMENT DE L'OBJET DE LA DEMANDE
CIB 7 H04L12/56

Selon la classification internationale des brevets (CIB) ou à la fois selon la classification nationale et la CIB

B. DOMAINES SUR LESQUELS LA RECHERCHE A PORTE

Documentation minimale consultée (système de classification suivi des symboles de classement)
CIB 7 H04L

Documentation consultée autre que la documentation minimale dans la mesure où ces documents relèvent des domaines sur lesquels a porté la recherche

Base de données électronique consultée au cours de la recherche internationale (nom de la base de données, et si réalisable, termes de recherche utilisés)
EPO-Internal

C. DOCUMENTS CONSIDERES COMME PERTINENTS

Catégorie °	Identification des documents cités, avec, le cas échéant, l'indication des passages pertinents	no. des revendications visées
X	US 5 848 057 A (LEE CHANG-BUM ET AL) 8 décembre 1998 (1998-12-08) colonne 3, ligne 14 - colonne 4, ligne 30	1,10
A	WO 00/79829 A (NOKIA NETWORKS OY ; SUNI MIKKO (FI)) 28 décembre 2000 (2000-12-28) page 21, ligne 1 - page 30, ligne 27 ----- -/--	1-10

☒ Voir la suite du cadre C pour la fin de la liste des documents

☒ Les documents de familles de brevets sont indiqués en annexe

° Catégories spéciales de documents cités:

- *A* document définissant l'état général de la technique, non considéré comme particulièrement pertinent
- *E* document antérieur, mais publié à la date de dépôt international ou après cette date
- *L* document pouvant jeter un doute sur une revendication de priorité ou cité pour déterminer la date de publication d'une autre citation ou pour une raison spéciale (telle qu'indiquée)
- *O* document se référant à une divulgation orale, à un usage, à une exposition ou tous autres moyens
- *P* document publié avant la date de dépôt international, mais postérieurement à la date de priorité revendiquée

- *T* document ultérieur publié après la date de dépôt international ou la date de priorité et n'appartenant pas à l'état de la technique pertinent, mais cité pour comprendre le principe ou la théorie constituant la base de l'invention
- *X* document particulièrement pertinent; l'invention revendiquée ne peut être considérée comme nouvelle ou comme impliquant une activité inventive par rapport au document considéré isolément
- *Y* document particulièrement pertinent; l'invention revendiquée ne peut être considérée comme impliquant une activité inventive lorsque le document est associé à un ou plusieurs autres documents de même nature, cette combinaison étant évidente pour une personne du métier
- *Z* document qui fait partie de la même famille de brevets

Date à laquelle la recherche internationale a été effectivement achevée

8 décembre 2004

Date d'expédition du présent rapport de recherche internationale

28/12/2004

Nom et adresse postale de l'administration chargée de la recherche internationale
Office Européen des Brevets, P.B. 5818 Patentlaan 2
NL - 2280 HV Rijswijk
Tel. (+31-70) 340-2040, Tx. 31 651 epo nl,
Fax: (+31-70) 340-3016

Fonctionnaire autorisé

Schneider, G

Best Available Copy

RAPPORT DE RECHERCHE INTERNATIONALE

De... de Internationale No
PCT/FR2004/001654

C.(suite) DOCUMENTS CONSIDERES COMME PERTINENTS

Catégorie	Identification des documents cités, avec, le cas échéant, l'indication des passages pertinents	no. des revendications visées
A	<p>KNIGHTLY E W ED - INSTITUTE OF ELECTRICAL AND ELECTRONICS ENGINEERS: "H-BIND: a new approach to providing statistical performance guarantees to VBR traffic" PROCEEDINGS OF IEEE INFOCOM 1996. CONFERENCE ON COMPUTER COMMUNICATIONS. FIFTEENTH ANNUAL JOINT CONFERENCE OF THE IEEE COMPUTER AND COMMUNICATIONS SOCIETIES. NETWORKING THE NEXT GENERATION. SAN FRANCISCO, MAR. 24 - 28, 1996, PROCEEDINGS OF INFOCOM, L, vol. VOL. 2 CONF. 15, 24 mars 1996 (1996-03-24), pages 1091-1099, XP010158178 ISBN: 0-8186-7293-5 cité dans la demande le document en entier</p> <p>-----</p>	

RAPPORT DE RECHERCHE INTERNATIONALE

De  de Internationale No
PCT/FR2004/001654

Document brevet cité au rapport de recherche		Date de publication	Membre(s) de la famille de brevet(s)		Date de publication
US 5848057	A	08-12-1998	KR	211053 B1	15-07-1999
WO 0079829	A	28-12-2000	WO	0079829 A1	28-12-2000
			AU	4613499 A	09-01-2001